



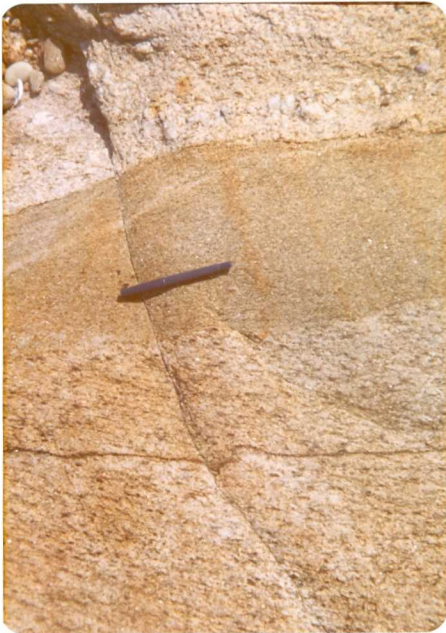
Gneis glandular muy migmatítico; está casi transformado en un granito, pero aún le quedan restos de los “ojos” de fel-despato. (Estación - 424)



Vista general con la Sierra de la Fracha y la ensenada de Vilaboa al fondo. En primer término se ve un contacto rectilíneo entre los granitos de dos micas y metasedimentos equivalentes al Complejo “Cabo de Home - La Lanzada” (Tomada desde la torre forestal del pico Castiñeira). (Estación A G - 434)



Contacto entre el granito de dos micas y un enclave de metasedimentos. (A G - 433)



Granito de dos micas, de grano grueso, contado por un
dique de granito de dos micas de grano fino. (A6 - 435)



Dique de cuarzo en los ortogneis leucocráticos, dando un pliegue muy apretado, tal vez de primera fase. (Playa de Aguete) (A G - 436)



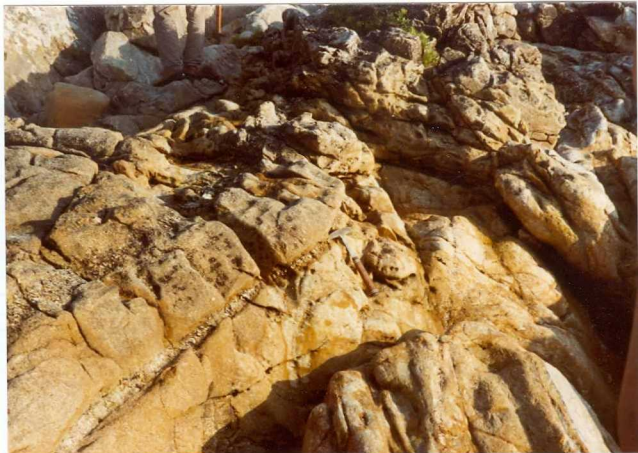
Detalle del ortogneis leucocrático (Playa de Aguete) (A G - 438)



Anfibolita muy orientada dentro de los ortogneis leucocráticos. (Playa de Aguete) (A G - 437)



Dique de cuarzo plegado (Playa de Aguete) (A G - 439)



Contacto del granito de dos micas y el ortogneis leucocrático. Se observa un Boudinage de los filones de granito y la lineación del ortogneis se adapta al contacto (Playa de Aguete) (A G - 440)



Detalle del dique aboudinado del granito de dos micas en su contacto con el ortogneiss leucocrático. (Playa de Aguete) (A G - 441)



Detalle del contacto de la graniodiorita precoz y los ortogneises leucocráticos
(Playa de Lapamán) (A G - 442)



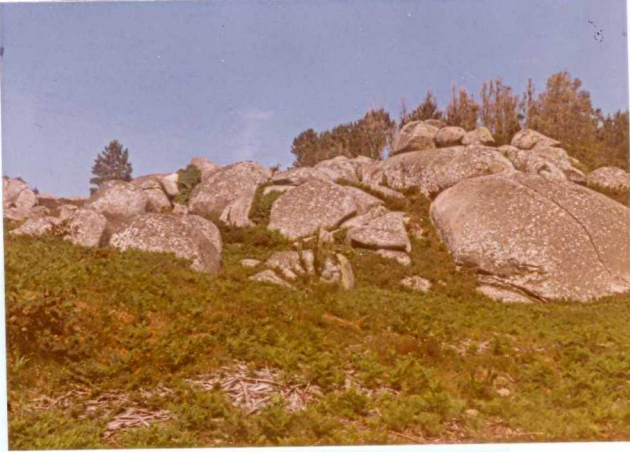
Gneis glandular migmatítico (Estación AG-425)



Ortogneises leucocráticos que se ponen en contacto con la granodiorita precoz.
(Playa de Lapamán) (A G - 443)



Detalle de la granodiorita precoz, donde se observan bien los megacristales de feldespato. (A G - 444)



Morfología típica de la granodiorita precoz. (A G - 445)



Panorámica del “Alto de Meaño” A la derecha isla de la Toja. Estación AH - 90.



Valle de Mosteiro-Escusa, completamente cubierto de suelos de labor ocultando así la posible presencia de restos pleistocénicos en su fondo. (Estación AH-96).



Detalle de la granodiorita y granito biotítico precoz de la estación AH - 83.

Aspecto¹ de los ortogneis cataclásicos de Simes. Estación AH-88.



Aspecto de la granodiorita precoz (granito
biotítico con megacristales) de Meaño Esta-
ción AH-83a.





Detalle del granito biotítico precoz (granodiorita) con megacristales, intruido por granito de dos micas de grano fino, creando un conjunto rocoso irregular y heterogéneo de difícil cartografía.
(Estación AH-89)



Visión estereoscópica del granito biotítico precoz de megacristales de la zona del Norte de Simes. (Estación AH-87).



Detalle del gneis glandular migmatítico
(Estación AG - 426)



Granodiorita de Meaño con megacristales de feldespato. Se trata petrográficamente de una granodiorita biotítica. (Estación AH-9-5).

Un nuevo aspecto de la zona de mezcla con granito biotítico (granodiorita con megacristales) y granito de dos micas homogéneo (grano fino). (Estación AH-89α en el Alto de Meaño).





Zona de mezcla de granodioritas de megacristales y **granitos** de dos micas intruidas en aquellas. (Estación AH-891 (Alto de Meaño).

Detalle del contacto de la fotografía anterior,
entre granodiorita con megacristales y granito
de dos micas. Estación AH-91.





Contacto bien definido entre los granitos bióticos y el granito alcalino de dos micas, estación AH-91a.



Gneises migmatíticos de la zona de contacto con la granodiorita de Caldas de Reyes. (Estación AH-93a).



Otro aspecto de las rocas de tipo migmatítico halladas cerca de Castrove en el contacto con el batolito de Caldas de Reyes. (Estación AH-93).



Otro grueso bolo disyuntado en el borde sur del batolito de Caldas de Reyes al N. de Castrove. (Estación AH-96a).



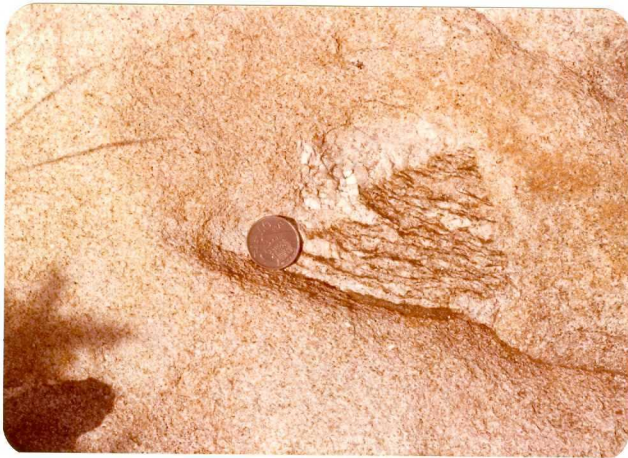
Cantera en la granodiorita de **Caldas** donde aprovecha los gruesos bolos para la obtención de piedras de construcción y la roca alterada y degradada como material granular (arena silícea). (Estación AH-96b)



Detalle de la disyunción en gruesos bolos de la granodiorita de caldas al N de Castrove. (Estación AH-96C).

Detalle del gneis glandular migmatítico. (AG-427)





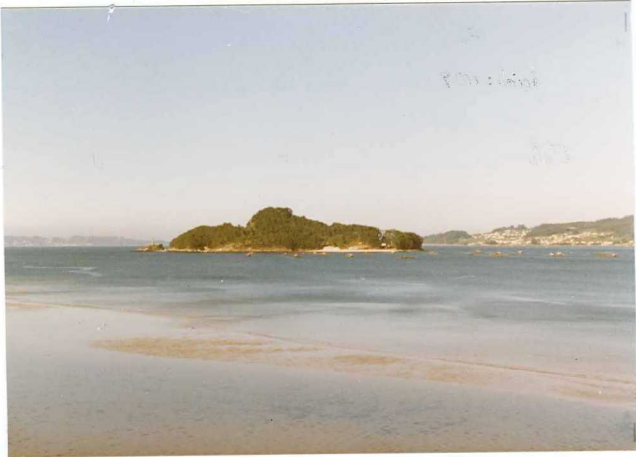
Enclave de gneis glandulares en granitos de dos micas. (Estación 1105).



Ría de Pontevedra. Isla de Tambo. (*Estación 1130*)



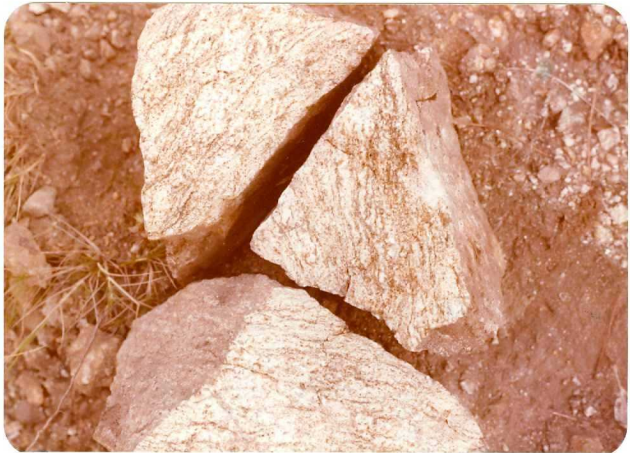
Augenite migmatizado con intrusión de granito de dos micas alóctonas.
(Estación 1108).



Ría de Pontevedra. Isla de Tambo. (Estación 1109).



Gneis glandular francamente migmatizado. (Estación 1063).



Gneis glandular migmatítico. (Estación 1105).



Repliegues F2 en augenqueis migmatítico. (Estación 1109).



Repliegues F2 en Augenneis migmatítico (Estación 1109^{ll}).



Esquistos Precámbrio-Silúrico. Repliegues de plano axial subvertical.
(Estación 1057).



Repliegues Precámbrio-Silúrico. Estación 1057).

Detalle del gneis glandular migmatítico. (AG-428)





Contacto: augenite - granito de dos micas alóctono (Estación 1108).



Augenneis fuertemente migmatizado. (Estación 1050).



Detalle del granito de feldespato alcalino “de ala de mosca”, donde se observa su textura de grandes biotitas. (A 6 - 429)



Granito de dos micas, de grano medio - fino, con pequeños fenocristales de feldespato. (A6 - 430)



Detalle de shear band tardías de carácter dúctil. (A G - 431)



Detalle del granito de dos micas de grano medio (facies común). (A G - 432)